

移動音源による音場の積分変換を用いた解析とその誤差の検討

交通システム研究領域 緒方正剛 中島弘史 鶴 秀生 (日東紡音響エンジニアリング株)

1. はじめに

道路沿道や鉄道沿線住民の生活環境保全を目的とする騒音対策手法の一つとして、防音壁が用いられている。交通機関の騒音の予測に際しては、実際には移動している音源を静止したものと仮定して、受信点での騒音を求める手法が用いられる。しかし本来、音源が移動する場合はドップラー効果により周波数の変調や指向性が変化することが知られており、移動速度が速くなるとその変化が無視できない。

本論文では、鉄道などの遮音壁の効果予測をする際に多く用いられている Duhamel の手法の実際の数値計算方法を述べると共に、その誤差のオーダーを理論的に解析した。

さまざまな形状や材質の遮音壁の効果を予測することは、騒音分野での重要なテーマである。数値計算により効果を予測することが行われている^[1,2]が、計算量の点で2次元解析が主である。2次元解析は、線音源からの放射音場の予測に相当する。しかし実際の音源は、列車や自動車等であり、点あるいは線上に連続的に配置された無相関な点音源（非干渉性線音源）としてモデル化の方がより実際に近い。実際に、線音源と非干渉性線音源について遮音壁の効果が異なる事が示されている^[3]。これに対し Duhamel は2次元解を元に3次元への積分変換を行い、2次元的なパターン境界における点音源からの音場を解析する方法を提案した^[4]。この方法は、計算量の少ない2次元解析を元に3次元の点音源による音場解析が可能である^[5-7]。しかし^[4-7]のいずれにおいても、実際の数値計算方法が詳細に述べられておらず、積分変換を利用した数値解析を追試することが困難となっている。また数値計算上の誤差に関する検討がなされていないため、算出した結果の精度が明らかでない。本論文では、上記の問題を解決するため、積分変換を用いた移動音源の数値解析についての実際の数値計算方法、誤差の検討について述べる。

2. 積分変換による移動音源のシミュレーション

図-1のように、ある軸での断面形状が変化しない2次元的なパターン境界において、音源がパターンに平行に移動する場合、2次元音場のシミュレーション結果から、3次元音場のシミュレーション結果を得ることができる^[4]。

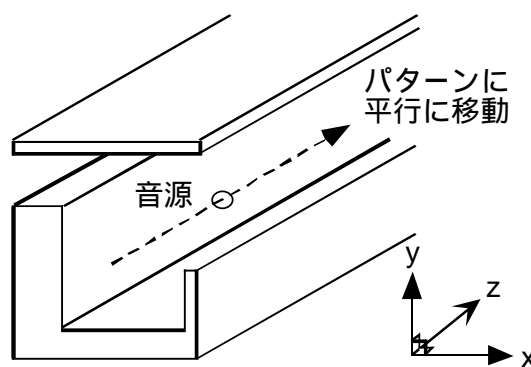


図1 2次元パターン境界と平行移動音源

音場における音圧 p および粒子速度 \mathbf{v} [m/s] は時間 t [s]、密度 ρ [kg/m³]、速度ポテンシャル ϕ [m²/s] とすれば、

$$p = \rho \frac{\partial \phi}{\partial t}, \quad \mathbf{v} = -\nabla \phi \quad (1)$$

となる^[8]。 ϕ は、^[4]より次式の解として与えられる。

$$\phi(x, y, z, t) = \frac{1}{(2\pi)^2} \int_{-\infty}^{\infty} \int_{-\infty}^{\infty} S(k_z, \omega) \Phi_{xy}(x, y, \sqrt{k^2 - k_z^2}) e^{ik_z z} e^{-i\omega t} dk_z d\omega \quad (2)$$

$$S(k_z, \omega) = \int_{-\infty}^{\infty} s(t) e^{-ik_z z_0(t)} e^{i\omega t} dt \quad (3)$$

ここで、 $s(t)$ は体積速度 [m³/s] を単位とする音源波形、 \mathbf{x} は受信点の位置 [m]、 $\mathbf{x}_0(t) = (x_0, y_0, z_0(t))$ は音源の位置 [m] である。音源は、 z 軸に平行に移動するものとした。

これは、2次元音場 $\Phi_{xy}(x, y, k_{xy})$ と移動を考慮した音源の周波数特性 $S(k_z, \omega)$ から、3次元音場が計

算できることをあらわす。音場の数値シミュレーションでは、2次元問題の解析は3次元の場合に比較して、演算量や必要メモリが少なくすむという利点がある。ただし、通常の2次元問題の解析と違い、波数が虚数となる範囲についても行う必要がある。

音源が等速度で移動 ($z_0(t) = Vt$) した場合、 $S(k_z, \omega)$ は元の音源波形 $s(t)$ のフーリエ変換 $\hat{S}(\omega)$ を用いて、

$$S(k_z, \omega) = \hat{S}(\omega - k_z V) \quad (4)$$

となる。 ω の積分を移動を考慮した周波数 $\omega' = \omega - k_z V$ による積分に変数変換すれば、

$$\phi(x, y, z, t) = \frac{1}{2\pi} \int_{-\infty}^{\infty} \hat{S}(\omega') \hat{\Phi}(x, y, \omega', t) e^{-i\omega' t} d\omega' \quad (5)$$

$$\hat{\Phi}(x, y, \omega', t) = \frac{1}{2\pi} \int_{-\infty}^{\infty} \Phi_{xy}(x, y, \sqrt{\left(\frac{\omega' + k_z V}{c}\right)^2 - k_z^2}) e^{ik_z(z-Vt)} dk_z \quad (6)$$

となる。従って、等速移動音源の場合、(6)により音場の特性 $\hat{\Phi}(x, y, \omega', t)$ を計算しておけば、音源特性 $\hat{S}(\omega)$ が変化した場合にも、(5)の周波数合成のみによって ϕ を得ることができる。

3. 数値計算方法とその誤差

ここでは簡単のため等速移動音源の場合について取り扱う。

3.1. 音場特性の算出

音場の特性 $\hat{\Phi}(x, y, \omega', t)$ を(6)により実際に計算するためには、以下の3点を考慮する必要がある。それぞれについて、誤差の理論的解析を行う。

積分範囲

積分範囲は $-\infty \sim \infty$ であるが実際は打ち切る必要があり、その誤差が発生する。

特異点とその周辺

積分中に $k_{xy} = 0$ となる点で $\Phi_{xy}(x, y, k_{xy})$ が発散する。この点とその周辺を避けて積分を行う必要があり、そのための誤差が発生する。

積分間隔

数値計算では積分変数を離散化して和として計算する必要があり、これによる誤差が発生する。この積分時の離散化間隔を以後、積分間隔と略記する。

3.1.1. 正規化波数

(6)の理論解析を行う上で式を簡略化するため、次式

の正規化波数 \bar{k}_z (図-2) を導入する。

$$\bar{k}_z = \frac{c}{\omega'} (1 - M^2) k_z - M \quad (7)$$

ここで M はマッハ数 ($M = \frac{V}{c}$) である。(6)を \bar{k}_z の

積分に変換すると、

$$\hat{\Phi}(x, y, \omega', t) = \frac{1}{2\pi W} \int_{-\infty}^{\infty} \Phi_{xy}(x, y, k_{xy}) e^{iW(\bar{k}_z + M)(z-Vt)} d\bar{k}_z$$

$$k_{xy} = A \sqrt{1 - \bar{k}_z^2}$$

$$A = \frac{\omega'}{c} \frac{1}{\sqrt{1 - M^2}}, \quad W = \frac{\omega'}{c} \frac{1}{1 - M^2} \quad (8)$$

となり、2次元音場での波数 k_{xy} の引数が簡略化され、特異点が $\bar{k}_z = \pm 1$ となる。

3.1.2. 積分範囲

(8)における \bar{k}_z の積分範囲は $-\infty \sim \infty$ であるが、数値計算では打ち切りが必要となる。 \bar{k}_z を $-\bar{k}_{z\max} \sim \bar{k}_{z\max}$ ($\bar{k}_{z\max} > 1$) で打ち切った場合の誤差 I_{kz} は、

$$I_{kz} = \frac{1}{2\pi W} \int_{\bar{k}_{z\max}}^{\infty} \Phi_{xy}(x, y, A\sqrt{1 - \bar{k}_z^2}) e^{iW(\bar{k}_z + M)(z-Vt)} d\bar{k}_z \quad (9)$$

で与えられる。

このため $\bar{k}_z \rightarrow \infty$ の時の Φ_{xy} の収束性が重要となる。 $V < c$ であれば $k_{xy} \rightarrow \pm i\infty$ となる(図-2)ので、波数 k_{xy} が虚数となる領域での Φ_{xy} の値について考える。 $\Phi(x, y, k_{xy})$ の k_{xy} に純虚数値を代入することは、物理的には指数減衰する波(エバネッセント波)を表す。 $\Phi_{xy}(x, y, k_{xy})$ を、境界要素法的な考えによって、さまざまな距離にある複数の点音源による速度ポテンシャルの合成であると考えれば、エバネッセント波領域における各点音源からの速度ポテンシャルへの寄与度は、音の伝播距離に応じて指数的に減少する。そのため、 $\Phi_{xy}(x, y, k_{xy})$ の収束は、受音点から最も近い音源の寄与で代表できる。この距離を r_{\min} とすれば、

$$\tilde{\Phi}(x, y, i\beta) = \frac{i}{4} H_0^{(1)}(i\beta r_{\min}) \approx (8\pi\beta r_{\min})^{-0.5} e^{-\beta r_{\min}} \quad (10)$$

となる。(9)の絶対値の上限 E_{kz} を代表値で計算すればこの値の上限は、

$$\tilde{E}_{kz} < \frac{1}{4\pi W A \sqrt{2\pi r_{\min}}} \cdot \frac{\sqrt{a}}{\sqrt{A^2 + a^2}} \cdot e^{-\alpha r_{\min}}$$

$$a = A\sqrt{\bar{k}_z^2 - 1} \quad (11)$$

となり、打ち切りに関する誤差はほぼ $O(e^{-ar_{\min}})$ となる。 $\bar{k}_z^{\max} = 1 + \mu$ として正規化軸で考えれば、 $\mu < 1$ のとき $O(e^{-r_{\min}\sqrt{\mu}})$ となる。上記解析は \bar{k}_z の上限値の打ち切りに関する誤差であるが、 \bar{k}_z の下限値の誤差についても傾向は同様である。

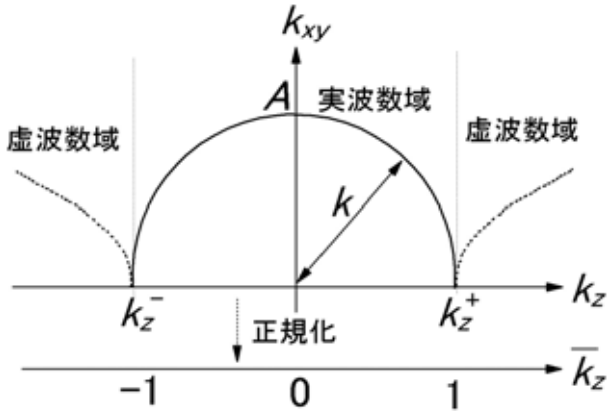


図2 k_z と k_{xy} および \bar{k}_z

3.1.3. 特異点周辺

$k_{xy} = 0$ では Φ_{xy} が発散するため数値積分時には避ける必要がある。この誤差については、 $k_{xy} = 0$ 付近 ($\bar{k}_z = \pm 1$ 付近) の Φ_{xy} の値の振る舞いを解析することが必要となる。3.1.2項と同様に、複数の点音源の合成と考えれば、波数 $k_{xy} = 0$ は、速度ポテンシャルが発散する特異点であることがわかる (図3)。

この特異点付近での積分値 (積分を避けた場合の誤差) について解析する。

$\bar{k}_z = -1$ 付近での積分値 I (積分範囲: $-1 - \varepsilon < \bar{k}_z < -1 + \varepsilon$) は、

$$I = \frac{1}{2\pi W} \int_{-1-\varepsilon}^{-1+\varepsilon} \Phi_{xy}(x, y, A\sqrt{1-\bar{k}_z^2}) e^{iW(\bar{k}_z+M)(z-Vt)} d\bar{k}_z$$

となる。波数 $k_{xy} \approx 0$ の時、距離 r にある点音源による速度ポテンシャルは、

$$\Phi_{xy}(x, y, k_{xy}) = \frac{i}{4} H_0^{(1)}(k_{xy}r) \approx -\frac{1}{2\pi} \log(k_{xy}r) \quad (12)$$

となるので、最も音源からの距離が短い点音源による寄与が支配的となる。そこで、最も近い音源からの距離を r_{\min} とし、その寄与 I' を考えると、

$$I' \approx \frac{-1}{2\pi^2 W} e^{iW(1+M)(z-Vt)} \varepsilon \left[\frac{1}{2} \log \varepsilon + \log(Ar_{\min}) - i\frac{\pi}{4} - \frac{1}{2} \right] \quad (13)$$

となる。上記は、特異点付近 ($\bar{k}_z = -1 \pm \varepsilon$) 内の積分

を行わなかった場合の誤差である。また $\bar{k}_z = 1$ 付近の特異点についても、 $\bar{k}_z = -1$ と同様の誤差が発生する。これにより、特異点付近の積分を行わない事による誤差は、 $O(\varepsilon \log \varepsilon)$ $O(\varepsilon)$ となる。

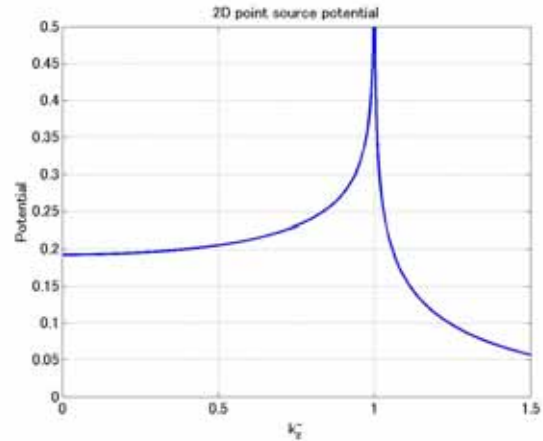


図3 点音源のポテンシャル

3.1.4. 積分間隔

k_z の積分間隔は、以下の3つの値を考慮して定めなければならない。

- (a) 積分係数 $e^{ik_z(z-Vt)}$ の値
- (b) 2次元音場での波数値

$$k_{xy} = \sqrt{\left(\frac{\omega_s + k_z V}{c}\right)^2 - k_z^2}$$

- (c) 特異点 k_z^- および k_z^+ の周辺における速度ポテンシャル $\Phi(x, y, k_{xy})$

それぞれの誤差について解析する。

(a)に関しては、積分係数 $e^{ik_z(z-Vt)}$ の位相の不連続性を考慮すれば、積分係数の位相間隔 $\Delta\theta = \Delta k_z(z-Vt)$ は π よりも十分小さくしなければならない。解析時間範囲内の最大となる z 軸方向距離を z_{\max} とすれば、

$$\Delta\theta = \Delta k_z(z-Vt) = \Delta k_z z_{\max} \ll \pi \quad (14)$$

として定める必要がある。

変化する位相を連続的に積分すべきところを、離散化することにより発生する誤差について考える。積分範囲、 $\theta - \Delta\theta/2 \sim \theta + \Delta\theta/2$ を、1つの離散点で代表したとすると、1点で発生する誤差 $E_{\theta 1}$ は、 $\Delta\theta \ll 1$ とすれば、

$$E_{\theta 1} = \left| \int_{\theta-\frac{\Delta\theta}{2}}^{\theta+\frac{\Delta\theta}{2}} \exp(ix) dx - \Delta\theta \cdot \exp(i\theta) \right| \approx \frac{(\Delta\theta)^3}{24} \quad (15)$$

となる。

\bar{k}_z の幅1あたりでは、

$$E_{\bar{k}_z} = E_{k_z} \cdot \frac{\Delta k_z}{\Delta \bar{k}_z} = \frac{(W \cdot z_{\max})^3}{24} (\Delta \bar{k}_z)^2 \quad (16)$$

となる。以上より、積分係数に起因する離散化誤差は $O\{\Delta \bar{k}_z^2\}$ と推定される。

(b)の誤差に関しては、2次元音場での波数値 k_{xy} の刻み幅が大きいと、2次元速度ポテンシャル $\Phi(x, y, k_{xy})$ が大幅に変化し、誤差の原因となる(図-3)。4.1.2項の場合と同様に考えれば、最も受音点から遠い点音源による速度ポテンシャルが、 k_{xy} の変化に対して最も大きく変化する。最も距離が遠い音源から受音点までの距離を r_{\max} とすれば、その音源による速度ポテンシャルは、

$$\Phi(x, y, k) = \frac{i}{4} H_0^{(1)}(kr_{\max}) \approx (8\pi kr_{\max})^{-0.5} e^{i(kr_{\max} + \pi/4)} \quad (17)$$

と表現できる。上記の被積分関数は、特異点付近以外 ($|k_{xy}| \gg 0$) の場所において振幅の変動よりも位相の変動が主である。従って、(a)と同様に、

$$\Delta k_{xy} r_{\max} \ll \pi \quad (18)$$

の必要がある。また k_{xy} で等間隔に離散化して積分したとすれば、 k_{xy} の幅1あたりの離散化誤差 $E_{k_{xy}}$ は、

$$E_{k_{xy}} = \frac{(r_{\max})^3}{24} (\Delta k_{xy})^2 \quad (19)$$

となり、(a)と同様に被積分関数に起因する離散化誤差は $O\{\Delta k_{xy}^2\}$ と推定される。

(c)は、特異点付近では、引数 k_{xy} が0に近づき、速度ポテンシャル $\Phi(x, y, k_{xy})$ の振幅が大きく変化する。従って、数値積分誤差が特異点付近以外よりも大きく発生する可能性がある。前節と同様に、複数点音源モデルで考えると、測定点から最も距離の近い点音源の寄与が支配的となる。そこで再度(15)を用いて最も距離の近い点音源で代表して誤差を検討する。積分間隔を Δk_{xy} として、積分範囲 $k_{xy} - \Delta k_{xy}/2 \sim k_{xy} + \Delta k_{xy}/2$ を1つの離散点で代表したとすると、1点で発生する誤差 E_{p1} は、

$$E_{p1} \approx \frac{1}{2\pi} \left(\frac{1}{3} + \frac{1}{8k_{xy}^2} \right) (\Delta k_{xy})^3 \quad (20)$$

となるので、 k_{xy} の幅1あたりの誤差は、

$$E_p \approx \frac{1}{2\pi} \left(\frac{1}{3} + \frac{1}{8k_{xy}^2} \right) (\Delta k_{xy})^2 \quad (21)$$

となる。以上より、特異点周辺での離散化誤差は $O\{\Delta k_{xy}^2\}$ と推定できる。この誤差 E_p と(b)で求めた $E_{k_{xy}}$ を比較すると、 k_{xy} が特に小さい場合を除き、

$E_{k_{xy}}$ の方が大きい。また E_p は特異点付近のみに発生する誤差である。従って E_p の全体の誤差への寄与は、 $E_{k_{xy}}$ と比較して少なく、通常は $E_{k_{xy}}$ を考慮して離散化間隔を決定すれば良いと予想できる。

4. 移動音源のシミュレーションの計算例

4.1. 理論解を用いた計算精度の比較

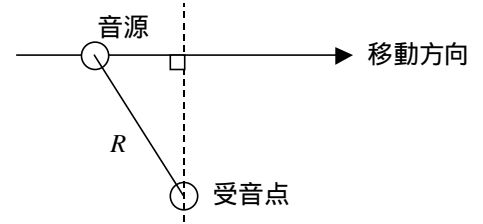


図7 移動音源解析のレイアウト

積分変換による計算解の誤差を実際に確かめるため、幾何音響による解析解が既知な自由音場上の等速移動点音源による音場の数値解析を行った。この音源による受音点での速度ポテンシャルは、次式で与えられる^[10]。

$$\phi_G = \frac{s(t-R/c)}{4\pi R(1-M \cos \theta)} \quad (22)$$

ここで、 $s(t)$ は音源の体積速度、 R は音源点と受音点間の距離、 θ は音源と受音とのなす角である(図-7)。この解を厳密解 ϕ_G とし、(19)による積分変換を用いた計算解 ϕ_C との比較を行った。計算解は、2次元の点音源による波動方程式の解

$$\Phi_{xy}(x, y, k_{xy}) = \frac{i}{4} H_0^{(1)}(k_{xy} r) \quad (23)$$

を元に行った。計算解の算出時には、積分範囲、特異点の打ち切り位置、積分間隔の3つをパラメータとして、厳密解からの差を比較した。差の定義は(24)の通りである。

$$\text{error}[dB] = 10 \log_{10} \frac{\sum |\phi_C(k) - \phi_G(k)|^2}{\sum |\phi_G(k)|^2} \quad (24)$$

計算条件は、音源周波数 500[Hz]、z軸距離 1[m]、速度 30[m/s]、解析時間範囲 -0.2~0.2[s]で行った。積分は台形公式を用いて計算した。 \bar{k}_z が特異点周辺以外 ($|\bar{k}_z| < \bar{k}_{zT}$ および $|\bar{k}_z| > 2 - \bar{k}_{zT}$) の範囲では k_z で等間隔に刻み、その間隔 Δk_z とした。特異点付近 ($\bar{k}_{zT} < |\bar{k}_z| < 2 - \bar{k}_{zT}$) では k_{xy} で等間隔の刻み、その間隔は k_{zT} での Δk_{xy} とした。 k_{zT} は(16)と(19)の誤差

がほぼ同じ値となる値を求めて用いた。なお、特異点付近での積分間隔による誤差 E_p は、本条件 ($r_{\max} = r_{\min} = 1$) では k_{xy} の積分間隔による誤差 $E_{k_{xy}}$ より小さいため、特異点付近においても同じ Δk_{xy} で積分した。計算のパラメータは、積分範囲 $k_{z\text{Max}}$ 、特異点打ち切り位置 ε 、積分間隔 Δk_z の3種類とした。また、それぞれの基準値をそれぞれ $1.5, 10^{-8}, 10^{-4}$ とし、各パラメータを変化させて誤差を解析した。

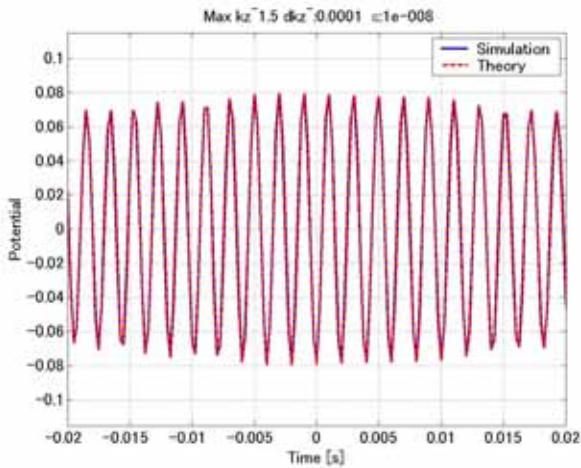


図8 移動音源解析における積分変換解と厳密解

図-8は、基準値で算出した厳密解(実線)と積分変換解の速度ポテンシャル波形(破線)を示している。図中では、厳密解と積分変換解による2つの線が完全に重なっており、理論的にはどちらも同じ値を算出することが確認できる。積分変換解と厳密解の差は、元の波形と比較すると 10^{-6} 以下である。

図-9は積分範囲 $\bar{k}_{z\text{max}}$ を変化させた場合の誤差で、実線は計算値、破線は理論値である。理論値は、 $\bar{k}_{z\text{max}} = 1 + \mu$ として、 $Ce^{-2Ar_{\min}\sqrt{\mu}}$ を表示した。 C は定数であり計算値の誤差と理論値の誤差の差が最小となるように定めた。図より計算値での誤差は、理論で示した誤差に近い減衰である事が確認できる。

図-10は特異点周辺の打ち切り ε を変化させた場合の誤差である。先と同様に、実線および破線はそれぞれ計算値、理論値の誤差を示し、理論値は $C\varepsilon$ で計算した。 C の値は先と同様に定めた。 $\varepsilon > 10^{-6}$ の範囲で計算値・理論値の誤差の推移はほぼ完全に一致している。 $\varepsilon < 10^{-6}$ の範囲で計算値の誤差がほぼ一定値となっているのは ε 以外の誤差、すなわち積分間隔および積分範囲による誤差により頭打ちになったものと思われる。

図-11は、積分間隔 Δk_z を変化させた場合の誤差を示している。理論値は、 $C\Delta k_z^2$ で計算した。図の線種、 C の値は先と同様である。積分間隔についてもおよそ理論値で示したオーダーで誤差が生じる事がわかる。以上より、検討した3種類の誤差について、ほぼ理論どおりの結果となっている事がわかる。

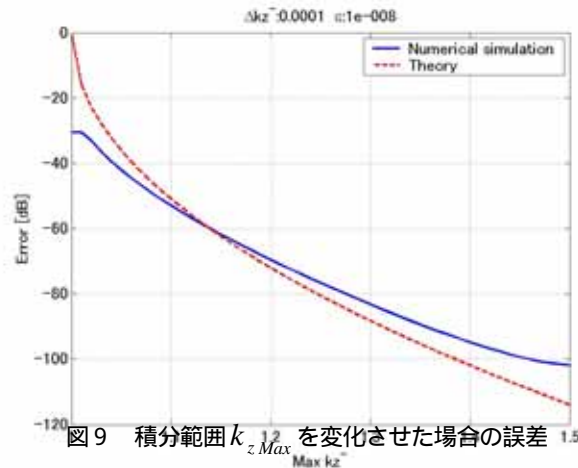


図9 積分範囲 $k_{z\text{Max}}$ を変化させた場合の誤差

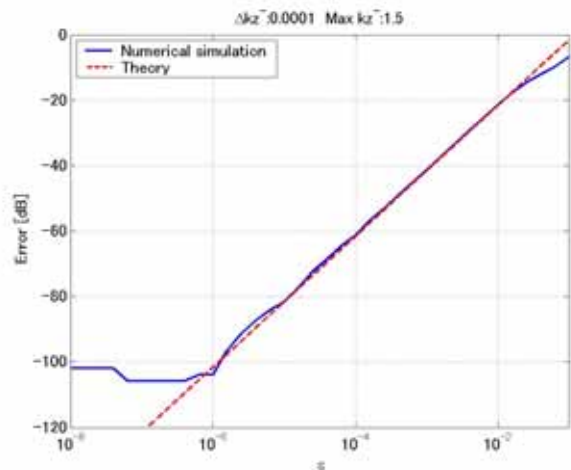


図10 特異点の打ち切り ε を変化させた場合の誤差

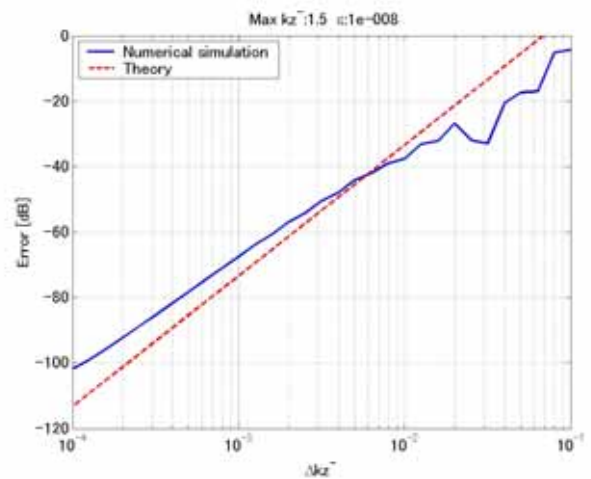


図11 積分間隔 Δk_z を変化させた場合の誤差

5 . おわりに

積分変換を用いた移動音源のシミュレーション方法についての実際の数値計算方法とその誤差について検討した。誤差には、積分範囲、特異点周辺の打ち切り、積分間隔によるものがあり、さらに積分間隔による誤差には3つの要因が考えられることを述べ、それぞれの誤差のオーダーを明らかにした。さらに幾何音響に基づく厳密解と積分変換による数値解析解との比較により、誤差のオーダーが理論的に検討した結果とほぼ一致することを明らかにした。本結果から、積分変換を用いたシミュレーション時の精度についておおよそ予測が可能となった。

<参考文献>

- [1] 井上瑞希, 藤原恭司, 尾本章: 障壁の挿入損失に関する一考察 . 日本音響学会 , 58(10), 639-646 (2002) .
- [2] T. Ishizuka, K. Fujiwara : Performance of noise barriers with various edge shapes and acoustical conditions. *Applied Acoustics* 65, pp. 125-141 (2004).
- [3] 福島昭則, 坂本慎一 : 道路交通騒音予測への2次元波動解析の適用に関する数値解析的検討 . 騒音振動研究会, N-2003-71 (2003) .
- [4] D.Duhamel: Efficient calculation of the three dimensional sound pressure field around a noise barrier. *Journal of Sound & Vibration*, 197, 547-571 (1996).
- [5] 井上瑞希, 藤原恭司: 防音壁吸音性円筒エッジの有効取付長に関する研究 ” , 日本音響学会 , 59(3), 141-143 (2003) .
- [6] Seigo Ogata, Hideo Tsuru, Hirofumi Nakajima and Kyoji Fujiwara: Investigation for insertion loss of noise barrier for sound source moving at high speed. *Acoustical Science and Technology*, 24(3), 148-150 (2003).
- [7] 緒方正剛, 鶴秀生, 中島弘史, 藤原恭司: 超高速移動音源に対する防音壁の遮音量算出に関する研究 . 日本音響学会 , 59(12), 713-722 (2003) .
- [8] 伊藤毅 : 音響工学原論 . コロナ社, (1955) .
- [9] M. Tohyama & T. Koike : *Acoustic Signal Processing*. Academic Press, (1998).
- [10] Morse and Ingard: *Theoretical Acoustics*. McGraw-Hill, 717-724 (1968).